

II-23 河川における非定常流の数値解法

北海道大学工学部 正員 工博の岸 力
北海道大学工学部 学生員 岸山健一

1 基礎方程式と特性曲線表示

洪水追跡計算における運動の方程式は水位 η と流量 Q を変数とすれば(1)式で与えられる。

$$\frac{1}{gA} \left[\frac{\partial Q}{\partial t} + 2 \frac{Q}{A} \frac{\partial Q}{\partial x} - \frac{Q^2}{A^2} \frac{\partial A}{\partial x} \right] = - \frac{\partial \eta}{\partial x} - \frac{n^2 Q^2}{A^2 R^{4/3}} + \frac{g w \cos \theta}{gA} \quad (1)$$

ここに A : 断面積 Q : 流量 η : 水位 n : 粗度係数 R : 径深

g : 河道に沿う単位長さ当りの横流入量(流入のとき+, 流出のとき-)

w : 横流入の流速 θ : 横流入の流向が x 軸の正の向きとなす角度

一方、連続の式は (2)式で与えられる。

$$\frac{\partial A}{\partial t} + \frac{\partial Q}{\partial x} = g \quad (2)$$

一階連立偏微分方程式に関する特性帯の理論によれば(1)および(2)式は 次の連立常微分方程式に帰着される。

$$dt = dx / \Phi \quad (3)$$

$$d\eta - \frac{dQ}{B\psi} = \frac{dx}{\Phi\psi} \left\{ \omega^2 (i_f - i_{g1}) - \frac{Q^2}{A^2} (i_0 + i_*) \right\} \quad (4)$$

$$dt = dx / \psi \quad (5)$$

$$d\eta - \frac{dQ}{B\Phi} = \frac{dx}{\Phi\psi} \left\{ \omega^2 (i_f - i_{g2}) - \frac{Q^2}{A^2} (i_0 + i_*) \right\} \quad (6)$$

ここに $\Phi = (Q/A) + \omega$, $\psi = (Q/A) - \omega$, $\omega = \sqrt{gA/B}$, B : 水面巾, i_0 : 河床勾配

i_* : $\partial A / \partial x = B(\partial h / \partial x + i_*)$ で定義される量で、長方形断面水路では $i_* = (h/B)(\partial B / \partial x)$

$i_f = n^2 Q^2 / A^2 R^{4/3}$, $i_{g1} = (g w \cos \theta - g\psi) / gA$, $i_{g2} = (g w \cos \theta - g\Phi) / gA$

3~6式において横流入量 g は主な支流川を別に取扱うものとすれば一般に無視しうる程度の量となる。又、一様矩形断面水路を考えると i_* は、0とおけるのである。よって6式は次のようになる。

$$dt = dx / \Phi \quad ; \quad d\eta - \frac{dQ}{B\psi} = \frac{dx}{\Phi\psi} \left\{ \omega^2 i_f - \frac{Q^2}{A^2} i_0 \right\} \quad (7)$$

$$dt = dx / \psi \quad ; \quad d\eta - \frac{dQ}{B\Phi} = \frac{dx}{\Phi\psi} \left\{ \omega^2 i_f - \frac{Q^2}{A^2} i_0 \right\} \quad (8)$$

(7)~(8)式が(1),(2)式と同等であることは、全微分の関係を用いて容易に確かめることができる。

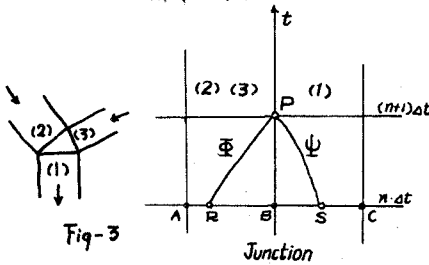
下流端で水位を与え、背水の状態を現出させた計算例をTab-1に示す。本計算例ではQを求める式の最後の2項に繰返し計算を行っているが、よく収束して安定した流れを示している。

Stokerによれば格子間隔 Δt , ΔX はP点を通る垂線特性曲線が、各々隣接格子線と横切らぬように定めることをあげているが、本方法を用いて $\Delta T=120\text{sec}$, $\Delta X=2000\text{m}$ で同じ計算を行ってTab1のような結果を得たが、階差法を使用する場合Stokerの指摘する条件が充分なものであるとすることは疑問がある。なお6に示す数値計算例では主として本方式を採用した。

		Table-1										
		(上流端)					(下流端)					
		No.1	No.2	No.3	No.4	No.5	No.6	No.7	No.8	No.9	No.10	
$i_0 = 0.000476$	Stoker 条件.	流量	300%	306	310	322	335	352	376	402	439	473
$n = 0.0272$		水深	1.20 ^m	1.21	1.24	1.27	1.31	1.37	1.43	1.53	1.65	1.80
	階差法	流量	300%	300	300	300	300	300	300	300	300	300
		水深	1.19 ^m	1.19	1.19	1.19	1.19	1.22	1.22	1.25	1.47	1.80

4 分合流点の計算法

分合流点における計算には(7)(8)式で示される連続の条件が分合流点を形成する断面で成立することが必要である。又分合流点におけるx-t平面はFig-3で与えられる。



$$\gamma_{P1} = \gamma_{P2} = \gamma_{P3} \quad (17)$$

$$Q_{P1} = Q_{P2} + Q_{P3} \quad (18)$$

3.に述べた方法を分合流点に適用することは困難であるので、分合流点に於ける計算法は特性曲線表示の式を用いるのが、明瞭で利用度が良い方法といえる。

断面(2)(3)には垂特性曲線に沿った、断面(1)には垂特性

曲線に沿った階差式を考え、式と連立させてとくと γ_P の α 0近似値として次式を得る。

$$\gamma_{P10} = -(\gamma_{S1} - \gamma_{B1})(B\Phi\Psi)_{B1}S_1 + (\gamma_{R2} - \gamma_{B2})(B\Phi\Psi)_{B2}S_2 + (\gamma_{R3} - \gamma_{B3})(B\Phi\Psi)_{B3}S_3 + (B\Phi)_{B1}\eta_{B1} - (B\Psi)_{B2}\eta_{B2} - (B\Psi)_{B3}\eta_{B3} + (Q_{S1} - Q_{B1})\Psi_{B1}S_1 - (Q_{R2} - Q_{B2})\Phi_{B2}S_2 - (Q_{R3} - Q_{B3})\Phi_{B3}S_3 + G_1 - G_2 - G_3 / \{(B\Phi)_{B1} - (B\Psi)_{B2} - (B\Psi)_{B3}\} \quad (19)$$

$$\text{但し } G_1 = \left[gA \frac{m^2 Q}{A^2 R^{4/3}} - B \frac{Q^2}{A^2} i_0 \right]_{B1} \Delta t \quad G_2 = \left[gA \frac{m^2 Q^2}{A^2 R^{4/3}} - B \frac{Q^2}{A^2} i_0 \right]_{B2} \Delta t \quad G_3 = \left[gA \frac{m^2 Q^2}{A^2 R^{4/3}} - B \frac{Q^2}{A^2} i_0 \right]_{B3} \Delta t$$

$$S_1 = 1/\Psi_{B1} \quad S_2 = 1/\Phi_{B2} \quad S_3 = 1/\Phi_{B3} \quad \gamma_{S1}, Q_{S1}, \gamma_{R3}, Q_{R3}, \gamma_{R2}, Q_{R2} \text{ は比例配分によって求める。}$$

次に Q_{P1} , Q_{P2} , Q_{P3} は次式で α 0近似値が与えられる。

$$Q_{P10} = Q_{B1} + (\gamma_{S1} - \gamma_{B1})(B\Phi\Psi)_{B1}S_1 + (B\Phi)_{B1}(\eta_{P1} - \eta_{B1}) - (Q_{S1} - Q_{B1})(\Psi)_{B1}S_1 - G_1 \quad (20)$$

$$Q_{P20} = Q_{B2} + (\gamma_{R2} - \gamma_{B2})(B\Phi\Psi)_{B2}S_2 + (B\Psi)_{B2}(\eta_{P2} - \eta_{B2}) - (Q_{R2} - Q_{B2})(\Phi)_{B2}S_2 - G_2 \quad (21)$$

$$Q_{P30} = Q_{B3} + (\gamma_{R3} - \gamma_{B3})(B\Phi\Psi)_{B3}S_3 + (B\Psi)_{B3}(\eta_{P3} - \eta_{B3}) - (Q_{R3} - Q_{B3})(\Phi)_{B3}S_3 - G_3 \quad (22)$$

α 1近似値は

$$Q_{P11} = 0.5 \times (Q_{P10} + Q_{B1})$$

$$Q_{P21} = 0.5 \times (Q_{P20} + Q_{B2})$$

$$Q_{P31} = 0.5 \times (Q_{P30} + Q_{B3})$$

を G_1, G_2, G_3 の Q_{B1}, Q_{B2}, Q_{B3} へ代入して γ_P の α 1近似値を求め、次に Q_P の α 1近似値を求め、この操作を繰返し近似をすすめていく。6に述べる数値計算例はこの方式による。

5 境界条件

(1) 上流端条件

上流端では η 又は Q が与えられるが (1)(2) 式を同時に成立させることは困難なので、特性曲線表示の式を用いて計算することが行われるが、余り良い結果がえられなかった。上流端又断面について連続の式のみを満足する条件で決定できる。

(2) 下流端条件

一般に洪水計算では河川の間におけるある長さによって考える事が多いので、固有の水位、流量を与えずに決定する方法を工夫した。中が一様断面では、下流端又断面で洪水が波形を変えず伝播するものとするれば $\partial^2 h / \partial x^2 = 0$ より、最下流端断面の水位を上流断面の水位より求めることができる。変断面の水路においては、最下流端に等断面の区間を仮定して同様の操作をすれば水位を求めることができる。

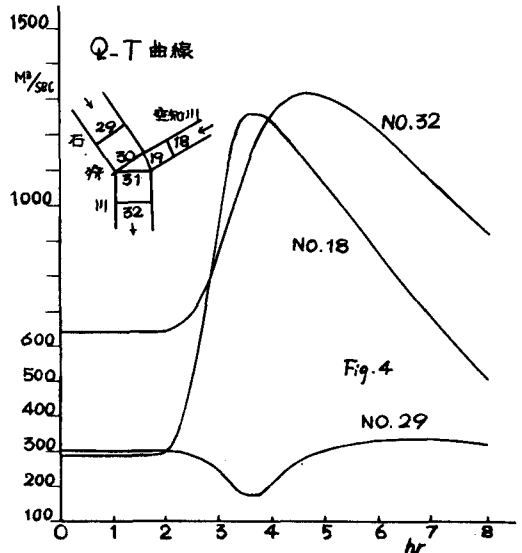
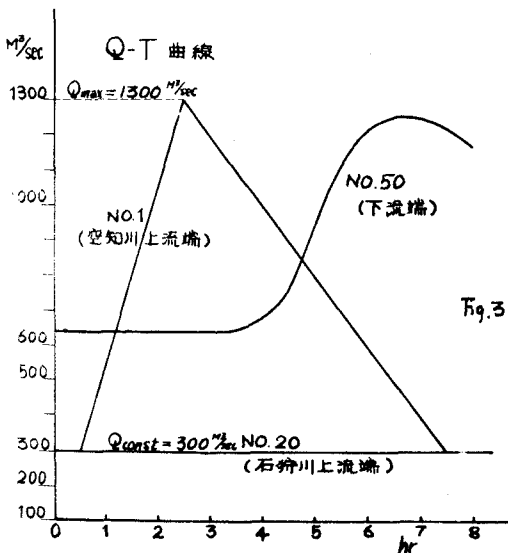
6 洪水追跡の数値計算例

石狩川、空知川の合流点附近約 50km に 50 断面をモデルとしてとりだし 次のような条件で数値計算を行った。

石狩川	川巾	280m	粗度係数	0.0272	勾配	0.000476
空知川	川巾	140m	粗度係数	0.0224	勾配	0.00125

格子間隔は安定条件を考慮して $\Delta t = 120 \text{ sec}$ $\Delta x = 1000 \text{ m}$ とした。上流端で与えられた流量は Fig. 3 のとおりで、合流点附近の NO. 18, NO. 29, NO. 32 の $Q-T$ 曲線を Fig. 4 に示すが、石狩川上流部では、せき上げの影響で一時的に流量がへり、合流点での河道貯留が観察される。

計算には北大計算センターの HIPAC 103 を利用した。



参考文献 技術資料 20号 土木学会北海道支部

岸力、板倉忠興、村田茂昭、小山田博：Digital Computerによる感潮河川の流れの計算